

双甘肽稀土配合物溶液结构的¹³C和¹H NMR研究

任吉民 牛春吉 裴奉奎* 王文韵 倪嘉缵

(中国科学院长春应用化学研究所, 长春 130022)

关键词: 双甘肽 稀土配合物 核磁共振溶液结构

关于双甘肽的¹³C化学位移行为及其与稀土离子的配位作用前人有过报导^[1-3]。但有关水溶液中双甘肽稀土配合物的结构仍不清楚。本文测定了在重稀土离子Dy³⁺、Ho³⁺、Er³⁺、Tm³⁺和Yb³⁺作用下双甘肽¹³C和¹H的顺磁诱导位移, 研究了水溶液中双甘肽稀土配合物的组成及结构。

1 实验部分

1.1 试剂

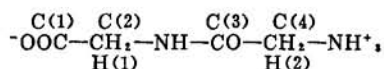
双甘肽为生化试剂, 纯度99.8%, 用D₂O溶解, 加体积分数0.01的叔丁醇作化学位移内标。氯化稀土由相应的纯度为99.9%的稀土氧化物制备, 用D₂O溶解, 浓度用EDTA标定。用于NMR测试的样品溶液中双甘肽浓度为0.20 mol·L⁻¹, 稀土浓度在0~0.48 mol·L⁻¹范围内变化, pH值为3.40。

1.2 NMR测试

¹³C和¹H NMR谱在JEOL FX-100型波谱仪上记录, 探头温度24℃。文中顺磁稀土诱导位移中的抗磁位移部分, 采用相同条件下镧配合物的化学位移作基准予以校正。

1.3 稀土配合物结构模拟

稀土配合物结构模拟程序MODI按Willcott方法^[4]用FORTRAN77语言编写, 在PDP 11/24型计算机上运算。用于模拟的配体骨架原子间键长和键角参数取相应双甘肽晶体的测定值^[5], C-H键长取为1.09 Å, 键角H-C-H取为109°, 羧基上C-O平均键长为1.23 Å, 键角O-C-O取为129°。文中双甘肽的碳氢观察核的编号如下:



2 结果与讨论

2.1 双甘肽稀土配合物的生成

在双甘肽水溶液中分别加入稀土离子Ho³⁺和Yb³⁺后, 双甘肽所有碳氢磁核的化学位移均显示出程度大小不一的变化, 标志溶液中有双甘肽稀土配合物的生成。在Ho³⁺的诱导作用下, C(2)的化学位移向高场移动, 其它观察核向低场移动。Yb³⁺使所有观察核的共振峰移向高场。Ho³⁺及Yb³⁺与双甘肽的配位导致各观察核的位移变化依如下次序减小: C(1)>

$C(2) > H(1) > C(3) > C(4) > H(2)$, 即随磁核至肽 C 端键数的增加, 诱导位移幅值单调递减。考虑到在 pH 3.4 条件下, 配体只有羧基部分解离, 而氨基处于质子化状态, 因而上述诱导位移的大小次序意味着双甘肽通过羧基与稀土配位, 氨基则不参与配位。在 ^{13}C 谱中观察到羧基碳 C(1) 的共振峰有最大的顺磁加宽, 也说明双甘肽 C 端原子到配位稀土的距离较短。

双甘肽的 C(2) 共振峰受顺磁加宽程度较小而位移值变化较大, 适于计算配合物稳定常数。根据文献^[6]方法对 C(2) 诱导位移随 $[Ln]/[GG]$ 的变化关系按二步配位机制进行最小二乘拟合, 得到双甘肽的 1:1 和 1:2 配合物稳定常数分别为 6.8 和 $1.7 \text{ L} \cdot \text{mol}^{-1}$, 相应的双甘肽镱配合物的稳定常数为 6.6 和 $1.1 \text{ L} \cdot \text{mol}^{-1}$ 。由此可知, 在弱酸性条件下, 当溶液中 $[Ln]/[GG] \geq 1$ 时, 生成的 1:1 配合物为主要成份, 而 1:2 配合物的相对浓度很小。 Ho^{3+} 与 Yb^{3+} 的离子半径相近, 因而两类配合物的稳定常数亦颇为接近。

2.2 双甘肽稀土配合物的 ^{13}C 和 1H 诱导位移

在 $0.2 \text{ mol} \cdot \text{L}^{-1}$ 双甘肽水溶液中加入等摩尔量抗磁离子 La^{3+} 后, 羧基碳 C(1) 的共振峰向低场移动高达 5.26 ppm, 表明双甘肽羧基氧与稀土离子间存在较强的成键作用。 La^{3+} 与双甘肽配位后, C(2) 共振峰向高场移动 0.50 ppm, 其它观察核的位移变化均小于 0.20 ppm, 这说明稀土离子的配位并未对双甘肽的溶液构象产生明显影响。

表 1 列出进行抗磁效应修正后双甘肽 ^{13}C 和 1H 顺磁诱导位移。轴对称性稀土配合物的顺磁诱导位移^[7]可表示为:

$$\Delta_{ij} = A_i \langle S_z \rangle_j + G_i D_j \quad (1)$$

表 1 水溶液 ($\text{pH} = 3.4$) 中双甘肽 ^{13}C 和 1H 稀土诱导位移
Table 1 ^{13}C and 1H lanthanide-induced shifts (ppm) of Gly-Gly in aqueous solution at $\text{pH} = 3.4$

Nucleus Shift [*]	Dy	Ho	Er	Tm	Yb	A	G
C(1)	Δ	147.96	60.04	-16.24	-30.88	-21.05	1.368
	Δ_c	41.36	26.47	19.45	13.18	3.21	
	Δ_d	106.60	33.57	-35.69	-44.06	-24.26	
C(2)	Δ	-15.20	-21.42	-30.42	-21.93	-8.63	-1.385
	Δ_c	-39.37	-30.93	-22.16	-10.34	-3.49	
	Δ_d	24.17	9.51	-8.26	-11.59	-5.14	
C(3)	Δ	11.74	1.42	2.96	-3.48	-1.86	0.104
	Δ_c	3.07	0.59	3.11	0.87	0.23	
	Δ_d	8.67	0.83	-0.15	-4.35	-2.09	
C(4)	Δ	5.58	2.28	-0.86	-1.45	-0.99	0.040
	Δ_c	1.16	0.79	0.61	0.40	0.09	
	Δ_d	4.42	1.49	-1.47	-1.85	-1.08	
H(1)	Δ	31.40	13.29	-3.74	-7.02	-4.44	0.288
	Δ_c	8.65	5.80	4.03	2.72	0.69	
	Δ_d	22.75	7.49	-7.77	-9.74	-5.13	
H(2)	Δ	4.40	2.01	-0.55	-1.30	-0.78	0.034
	Δ_c	0.94	0.72	0.55	0.32	0.08	
	Δ_d	3.46	1.29	-1.10	-1.62	-0.86	

* Δ_c and Δ_d represent contact and dipolar shifts respectively; upfield shifts are given as negative.

式中 $\langle S_z \rangle_j$ 为稀土离子 j 的自旋期望值; A_i 为观察核 i 与未偶电子自旋间的超精细偶合常数;

D_j 是与稀土离子磁化率有关的常数; G_1 为观察核的结构因子: $G = (3\cos^2\theta - 1)/r^3$, r 为观察核至配位稀土的距离, θ 为 r 与稀土主磁轴间的夹角。(1) 式中第一项表示接触位移, 第二项表示偶极位移。(1) 式的另外两种线性形式 (2a) 和 (2b) 可用于分离诱导位移中的接触

$$\Delta_{ij}/\langle S_z \rangle_j = A_1 + G_1 \cdot D_j / \langle S_z \rangle_j \quad (2a)$$

$$\Delta_{ij}/D_j = G_1 + A_1 \cdot \langle S_z \rangle_j / D_j \quad (2b)$$

位移和偶极位移两种成份。Reuben 指出^[8], 当诱导位移中偶极成份占主导时适合用 (2a) 式分离, 而当接触成份占主导时适合用 (2b) 式分离。分析结果表明, 双甘肽稀土配合物 C(2) 的 Δ_{ij}/D_j 对 $\langle S_z \rangle_j/D_j$ 及 C(1)、C(3)、C(4)、H(1) 和 H(4) 的 $\Delta_{ij}/\langle S_z \rangle_j$ 对 $D_j/\langle S_z \rangle_j$ 均有良好的线性相关性, 说明各稀土的双甘肽配合物具有一致结构。由 (2a) 和 (2b) 式求得的 (A_1, G_1) 值及经分离得到的接触位移和偶极位移也列于表 1。双甘肽各观察核的 $|A/G|$ 值大小次序为 C(2) > C(1) > H(1) > C(3) > H(2) > C(4), 说明与配位稀土较近的 C 端磁核的诱导位移比 N 端磁核包含更大的接触位移成份。各磁核的 G 值均小于零, 意味着配体位于以稀土主磁轴为中心的零偶极位移锥面外侧。

2.3 配合物的结构分析

采用前文^[4]方法模拟了双甘肽稀土配合物的溶液结构。模拟过程中考虑了配体骨架上 C-C(N) 键旋转所产生的交错构象共 9 种。当配体骨架取全反式构象时, 协同因子 AF 具有最小值 0.01。双甘肽配体的全反式构象可从静电作用观点予以解释: 当配体骨架处于伸展状态时, 带正电荷的氨基与配位中心的正三价稀土离子间的距离最长, 静电排斥力最小。模拟结果还表明, 双甘肽羧基以双齿形式与稀土配位, $\text{Ln}-\text{O}$ 键长为 2.0 \AA , C(1) 与稀土的连线和羧基平面成 10° 夹角, 稀土中心至配体磁核的距离由 C 端至 N 端递增 (见表 2)。配合物中稀土离子至肽键氧原子和氨基氮原子的距离分别为 6.3 \AA 和 7.4 \AA , 因此, 水溶液中的肽键原子及氨基均不与稀土配位。

表 2 双甘肽稀土配合物的结构参数计算值

Table 2 The calculated conformational parameters for lanthanide complex with Gly-Gly

Parameter	C(1)	C(2)	C(3)	C(4)	H(1)	H(2)
$G_{ca1} (\times 10^2)$	100.7	24.3	8.9	4.6	21.4	3.4
$r/\text{\AA}$	2.2	3.7	5.6	6.4	4.1	7.1
$\theta/(^\circ)$	110.1	105.9	86.7	74.2	96.7	74.9

参 考 文 献

- Rabenstein D L, Libich S. *Inorg. Chem.*, 1972, 11: 2960
- Nieboer E. *Struc. Bonding*, 1975, 22: 1
- Levine B A, William R J P. *Proc. R. Soc. Lond. A.*, 1975, 345: 5
- Willcott M R, Lenkinski R E, Davis R E. *J. Am. Chem. Soc.*, 1972, 94: 1742
- Hughes E W, Moore W J. *J. Am. Chem. Soc.*, 1949, 71: 2618
- Inagaki F, Miyazawa T. *Progr. in N.M.R. Spectrosc.*, 1981, 14: 67
- 裘祖文, 裴奉奎, 核磁共振波谱。北京: 科学出版社, 1988, 528
- Reuben J, Elgavish G A. *J. Magn. Reson.*, 1980, 39: 421
- Ren J-M, Pei F-K, Wang W-Y. *Chin. J. Chem.*, 1990, (5): 423

¹³C AND ¹H NMR STUDIES OF SOLUTION STRUCTURE OF LANTHANIDE COMPLEX WITH GLYCYL-GLYCINE

Ren Jimin Niu Chunji Pei Fengkui* Wang Wenyun Ni Jiazan
(*Changchun Institute of Applied Chemistry, Academia Sinica, Changchun 130022*)

ABSTRACT

¹³C and ¹H NMR technique was used to study the interaction of Gly-Gly with heavy lanthanide cations Dy³⁺, Ho³⁺, Er³⁺, Tm³⁺ and Yb³⁺ in aqueous solution. The stability constants for the 1:1 and 1:2 complexes of Gly-Gly with Ho³⁺ and Yb³⁺ were determined from the titration curves of chemical shift versus concentration ratio of lanthanide to Gly-Gly. The solution structure of the Ln-Gly-Gly complex was analyzed based upon the ¹³C and ¹H lanthanide-induced shifts and the results show that in the complex Gly-Gly is coordinated to the lanthanide ion through the carboxyl oxygens with the backbone of the ligand in an extended state.

Keywords: Glycyl-Glycine, Lanthanide complex, Solution structure, Nuclear magnetic resonance